

(本试剂盒仅供体外研究使用，不用于临床诊断!)

**产品货号：E-BC-K070-S**

**产品规格：50 assays(48 samples)/100 assays(96 samples)**

**检测仪器：紫外-可见光分光光度计 (550 nm)**

## **Elabscience®亚硝酸盐比色法测试盒**

### **Nitrite Colorimetric Assay Kit**

使用前请仔细阅读说明书。如果有任何问题，请通过以下方式联系我们：

电话：400-999-2100

邮箱：[biochemical@elabscience.cn](mailto:biochemical@elabscience.cn)

网址：[www.elabscience.cn](http://www.elabscience.cn)

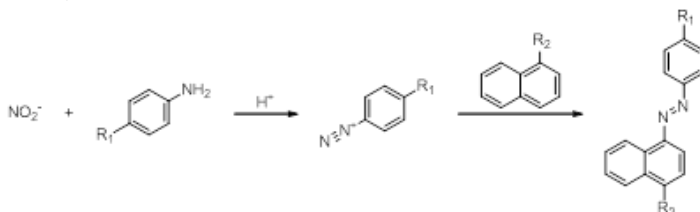
具体保质期请见试剂盒外包装标签。请在保质期内使用试剂盒。  
联系时请提供产品批号(见试剂盒标签)，以便我们更高效地为您服务。

## 用途

本试剂盒适用于检测血清、血浆、动植物组织样本中  $\text{NO}^{2-}$  的含量。

## 检测原理

$\text{NO}^{2-}$  与显色剂生成淡红色偶氮化合物(如图), 生成偶氮化合物的浓度与  $\text{NO}^{2-}$  的浓度具有线性关系, 通过比色可以知道  $\text{NO}^{2-}$  的浓度。试剂一和试剂二的作用, 除去样本有色物质的干扰。



本试剂盒测组织样本时, 需要用到测总蛋白浓度试剂盒, 推荐使用 BCA 法(货号: E-BC-K318-M)。

## 提供试剂和物品

编号	名称	规格 1(Size 1) (50 assays)	规格 2(Size 2) (100 assays)	保存方式 (Storage)
试剂一 (Reagent 1)	盐溶液 (Saline Solution)	50 mL×1 瓶	50 mL×2 瓶	2-8°C 保存 6 个月
试剂二 (Reagent 2)	碱溶液 (Alkali Reagent)	25 mL×1 瓶	50 mL×1 瓶	2-8°C 保存 6 个月
试剂三 (Reagent 3)	显色剂 A (Chromogenic Agent A)	粉剂×1 支	粉剂×1 支	2-8°C避光 保存 6 个月
试剂四 (Reagent 4)	显色剂 B (Chromogenic Agent B)	粉剂×1 支	粉剂×1 支	2-8°C避光 保存 6 个月
试剂五 (Reagent 5)	酸溶液 (Acid Solution)	6 mL×1 瓶	12 mL×1 瓶	2-8°C 保存 6 个月
试剂六 (Reagent 6)	亚硝酸钠标准品 (Sodium Nitrite Standard)	粉剂×1 支	粉剂×1 支	-20°C 保存 6 个月

说明：试剂严格按上表中的保存条件保存，不同测试盒中的试剂不能混用。

对于体积较少的试剂，使用前请先离心，以免量取不到足够量的试剂。

## 所需自备物品

**仪器：**紫外-可见分光光度计（550 nm）、涡旋混匀仪、磁力搅拌器、离心机、烧杯（50 mL，25 mL）。

**耗材：**枪头（1000  $\mu$ L，200  $\mu$ L，10  $\mu$ L）、EP管（5 mL，2 mL）、吸水纸、擦镜纸、磁力搅拌子。

**试剂：**双蒸水、生理盐水（0.9% NaCl）或 PBS（0.01 M，pH 7.4）。

## 试剂准备

① 试剂盒中的试剂平衡至室温。

② 试剂三工作液的配制：

将试剂三粉剂加入60-70°C的双蒸水30 mL，搅拌充分溶解，2-8°C避光保存3个月。

③ 试剂四工作液的配制：

将试剂四粉剂加入12 mL双蒸水，搅拌充分溶解，2-8°C避光保存2个月。若试剂出现颜色加深发黑，舍弃。

④ 显色剂的配制：

按试剂三工作液：试剂四工作液：试剂五为2.5: 1: 1的体积比混匀，现用现配，2-8°C避光保存2天。

⑤ 2 mmol/L标准品的配制：

取1支试剂六用2 mL双蒸水溶解，现配现用。

⑥ 100  $\mu$ mol/L标准品的配制：

将2 mmol/L标准品：双蒸水为1: 19的体积比混匀，现用现配。

## 样本准备

### ① 样本处理

血清血浆等液体样本：可直接测定。

组织样本：常规匀浆处理(匀浆介质为 PBS(0.01 M, pH 7.4)。匀浆后, 4°C, 10000 ×g 离心 10 min, 取上清置于冰上待测。留取部分上清用于蛋白浓度测定。

### ② 样本的稀释

在正式检测前, 需选择2-3个预期差异大的样本稀释成不同浓度进行预实验, 根据预实验的结果, 结合本试剂盒的线性范围: 1.36-500 μmol/L, 请参考下表稀释(仅供参考):

NO <sub>2</sub> 浓度 (μmol/L)	样本与稀释液的体积比	稀释倍数
<500	不稀释	1
500-5000	1:9	10

注：稀释液为生理盐水(0.9% NaCl)或 PBS(0.01 M, pH 7.4)。

## 实验关键点

加入试剂一、二混匀离心后的上清液必须澄清, 若有浑浊要再次离心。。

## 操作步骤

- ① 空白管：取 A mL 双蒸水，加入 2 mL EP 管中；  
标准管：取 A mL 100  $\mu\text{mol/L}$  亚硝酸钠标准品，加入 2 mL EP 管中；  
测定管：取 A mL 待测样本，加入 2 mL EP 管中。（A 为样本的加样量=标准品的加样量=双蒸水的加样量；血清（浆）参考取样量：0.2-0.4 mL，组织匀浆参考取样量 0.1-0.2 mL）
- ② 向步骤①中的各管加入试剂一 0.8 mL，涡旋混匀。
- ③ 向步骤②中的各管加入试剂二 0.4 mL，涡旋混匀。
- ④ 室温静置 10 min，2000  $\times$ g 离心 10 min。（若上清液中含有部分沉淀物，将上清液转入新的 EP 管中，再次离心）
- ⑤ 分别取 0.8 mL 上清液，加入相应的 2 mL EP 管中。
- ⑥ 向步骤⑤中的各管加入 0.4 mL 显色剂，混匀，室温静置 15 min。
- ⑦ 波长 550 nm，0.5 cm 光径石英比色皿，双蒸水调零，测定 OD 值。

## 操作表

	空白管	标准管	测定管
双蒸水 (mL)	A	--	--
100 $\mu\text{mol/L}$ 亚硝酸钠 (mL)	--	A	--
待测样本 (mL)	--	--	A
试剂一 (mL)	0.8	0.8	0.8
试剂二 (mL)	0.4	0.4	0.4
混匀，室温静置 10 min，2000 $\times$ g 离心 10 min，取上清液。			
上清液 (mL)	0.8	0.8	0.8
显色剂 (mL)	0.4	0.4	0.4
混匀，室温静置 15 min，波长 550 nm，0.5 cm 光径石英比色皿，双蒸水调零，测定 OD 值。			

## 结果计算

血清（浆）亚硝酸盐浓度计算公式：

$$\text{NO}_2^- \text{含量} \begin{matrix} (\mu\text{mol/L}) \end{matrix} = \frac{\Delta A_1}{\Delta A_2} \times c \times f$$

组织亚硝酸盐浓度计算公式：

$$\text{NO}_2^- \text{含量} \begin{matrix} (\mu\text{mol/gprot}) \end{matrix} = \frac{\Delta A_1}{\Delta A_2} \times c \times f \div C_{\text{pr}}$$

### 注解：

$\Delta A_1$ ：样本 OD 值-空白 OD 值

$\Delta A_2$ ：标准 OD 值-空白 OD 值

c：标准品浓度（100  $\mu\text{mol/L}$ ）

f：样本加入检测体系前稀释的倍数

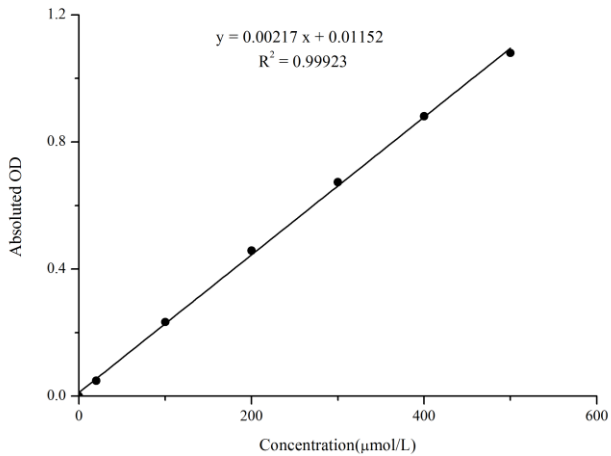
$C_{\text{pr}}$ ：待测样本的蛋白浓度（gprot/L）

## 附录1 关键数据

### 1. 技术参数

检测范围	1.36-500 $\mu\text{mol/L}$	平均批间差	3.3 %
灵敏度	1.36 $\mu\text{mol/L}$	平均批内差	2.6 %
平均回收率	97 %		

### 2. 标准曲线(数据仅供参考)



## 附录2 实例分析

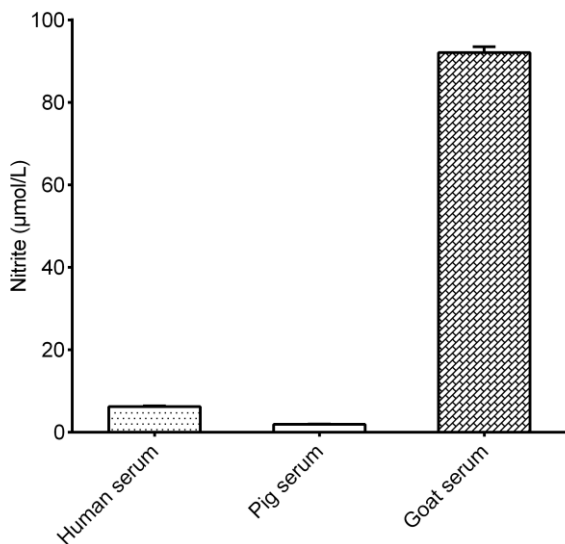
例如检测人血清(数据仅供参考):

取0.3 mL人血清样本, 按操作表操作, 结果如下。

空白管平均OD值为0.003, 标准管平均OD值为0.476, 测定管平均OD值为0.033, 计算结果为:

$$\text{NO}_2^- \text{含量} \left( \frac{\mu\text{mol/L}}{\mu\text{mol/L}} \right) = \frac{(0.033-0.003)}{(0.476-0.003)} \times 100 = 6.24 \mu\text{mol/L}$$

按照说明书操作, 测定人血清(加样量0.3 mL)、猪血清(加样量0.2 mL)、山羊血清(加样量0.2 mL)中 $\text{NO}_2^-$ 含量(如下图):





### 附录3 问题答疑

问题	可能原因	建议解决方案
复孔差异大	未严格按照说明书操作	严格按照说明书操作
样本和标准品显色很低	孵育时间太短	保证充足的孵育时间
样本测不出值	样本稀释倍数太大	选择合适稀释倍数,重新检测
	样本保存时间过长或者保存不当	取新鲜样本,重新检测
样本测量结果 $>500 \mu\text{mol/L}$	样本浓度太高	选择合适稀释倍数,重新检测
读数数值低	用不恰当波长检测	选择正确的检测波长

#### 声明

1. 试剂盒仅供研究使用,如将其用于临床诊断或任何其他用途,我公司将不对因此产生的问题负责,亦不承担任何法律责任。
2. 实验前请仔细阅读说明书并调整好仪器,严格按照说明书进行实验。
3. 实验中请穿着实验服并戴乳胶手套做好防护工作。
4. 试剂盒检测范围不等同于样本中待测物的浓度范围。如果样品中待测物浓度过高或过低,请对样本做适当的稀释或浓缩。
5. 若所检样本不在说明书所列样本类型之中,建议先做预实验验证其检测有效性。
6. 最终的实验结果与试剂的有效性、实验者的相关操作以及实验环境等因素密切相关。本公司只对试剂盒本身负责,不对因使用试剂盒所造成的样本消耗负责,使用前请充分考虑样本可能的使用量,预留充足的样本。

## 附录4 客户发表文献

1. Du S, Zhou N, Xie G, et al. Surface-engineered triboelectric nanogenerator patches with drug loading and electrical stimulation capabilities: Toward promoting infected wounds healing[J]. *Nano Energy*, 2021, 85:106004. IF:17.087
2. Bartolini D, Arato I, Mancuso F, et al. Melatonin modulates Nrf2 activity to protect porcine pre-pubertal Sertoli cells from the abnormal H<sub>2</sub>O<sub>2</sub> generation and reductive stress effects of cadmium. *J Pineal Res.* 2022;73 (1):e12806. IF:13.007
3. Yang Z, Wang J, Ai S, et al. Self-generating oxygen enhanced mitochondrion-targeted photodynamic therapy for tumor treatment with hypoxia scavenging[J]. *Theranostics*, 2019, 9(23): 6809. IF:11.556
4. Wan Q, Cao R, Wen G, et al. Sequential use of UV-LEDs irradiation and chlorine to disinfect waterborne fungal spores: Efficiency, mechanism and photoreactivation[J]. *Journal of Hazardous Materials*, 2022, 423:127102-. IF:10.588
5. Tian J, Wang L, Hui S, et al. Cadmium accumulation regulated by a rice heavy-metal importer is harmful for host plant and leaf bacteria. *J Adv Res.* 2022. IF:10.479
6. Jg A, Jie S B, Jy B, et al. Comparative toxicity reduction potential of UV/sodium percarbonate and UV/hydrogen peroxide treatments for bisphenol A in water: An integrated analysis using chemical, computational, biological, and metabolomic approaches[J]. *Water Research*, 2020, 190. IF:9.702
7. Yang X X, Xu X, Wang M F, et al. A nanoreactor boosts chemodynamic therapy and ferroptosis for synergistic cancer therapy using molecular amplifier dihydroartemisinin[J]. *Journal of Nanobiotechnology*, 2022, 20(1):1-19. IF:9.464
8. Liu Z, Liu X, Yang Q, et al. Neutrophil membrane-enveloped nanoparticles for the amelioration of renal ischemia-reperfusion injury in mice[J]. *Acta Biomaterialia*, 2020, 104: 158-166. IF:8.947
9. Huang S, Le H, Hong G, et al. An all-in-one biomimetic iron-small interfering RNA nanoplatfrom induces ferroptosis for cancer therapy. *Acta Biomater.* 2022;148:244-257. IF:8.291
10. Alharbi YM, Sakr SS, Albarrak SM, et al. Antioxidative, Antidiabetic, and Hypolipidemic Properties of Probiotic-Enriched Fermented Camel Milk Combined with *Salvia officinalis* Leaves Hydroalcoholic Extract in Streptozotocin-Induced Diabetes in Rats. *Antioxidants (Basel)*. 2022;11 (4):. IF:7.675

11. Wang H, Huang Q, Zhang Z, et al. Transient post-operative overexpression of CXCR2 on monocytes of traumatic brain injury patients drives monocyte chemotaxis toward cerebrospinal fluid and enhances monocyte-mediated immunogenic cell death of neurons in vitro[J]. *Journal of Neuroinflammation*, 2022. IF:7.573
12. Liu P, Yin Z, Chen M, et al. Cytotoxicity of adducts formed between quercetin and methylglyoxal in PC-12 cells[J]. *Food Chemistry*, 2021, 352(2):129424. IF:7.514
13. Adhikari B, Adhikari M, Ghimire B, et al. Cold plasma seed priming modulates growth, redox homeostasis and stress response by inducing reactive species in tomato (*Solanum lycopersicum*)[J]. *Free Radical Biology and Medicine*, 2020, 156: 57-69. IF:7.376
14. Zhao X, Wang C, Dai S, et al. Quercetin Protects Ethanol-Induced Hepatocyte Pyroptosis via Scavenging Mitochondrial ROS and Promoting PGC-1  $\alpha$  -Regulated Mitochondrial Homeostasis in L02 Cells. *Oxid Med Cell Longev*. 2022;2022:4591134. IF:7.31
15. Chagas TQ, Freitas ÍN, Montalvão MF, Nobrega RH, Machado MRF, Charlie-Silva I, Araújo APDC, Guimarães ATB, Alvarez TGDS, Malafaia G. Multiple endpoints of polylactic acid biomicroplastic toxicity in adult zebrafish (*Danio rerio*)[J]. *Chemosphere*. 2021 Aug;277:130279. IF:7.086
16. Mlindeli Gamede, Lindokuhle Mabuza, Phikelelani Ngubane, et al. Preventing the onset of diabetes-induced chronic kidney disease during prediabetes: The effects of oleanolic acid on selected markers of chronic kidney disease in a diet-induced prediabetic rat model[J]. *Biomedicine & Pharmacotherapy*. 2021 Jul;139:111570. IF:6.529
17. Yang H, Zhu Y, Ye Y, et al. Nitric oxide protects against cochlear hair cell damage and noise-induced hearing loss through glucose metabolic reprogramming.[J]. *Free radical biology & medicine*, 2021. IF:6.525
18. Rao M J, Xu Y, Tang X, et al. CsCYT75B1, a Citrus CYTOCHROME P450 Gene, Is Involved in Accumulation of Antioxidant Flavonoids and Induces Drought Tolerance in Transgenic Arabidopsis[J]. *Antioxidants & Redox Signaling*, 2020, 9(2):161. IF:6.313
19. Liou G G, Hsieh C C, Lee Y J, et al. N-Acetyl Cysteine Overdose Inducing Hepatic Steatosis and Systemic Inflammation in Both Propacetamol-Induced Hepatotoxic and Normal Mice[J]. *Antioxidants*, 2021, 10(3):442. IF:6.312
20. Wang Y, Chi H, Xu F, et al. Cadmium chloride-induced apoptosis of HK-2 cells via interfering with mitochondrial respiratory chain[J]. *Ecotoxicology and Environmental Safety*, 2022, 236:113494-. IF:6.233
21. Obaid QA, Al-Shammari AM, Khudair KK. Glucose Deprivation Induced by Acarbose

- and Oncolytic Newcastle Disease Virus Promote Metabolic Oxidative Stress and Cell Death in a Breast Cancer Model. *Front Mol Biosci.* 2022;9:816510. IF:6.113
22. Abdel-Wahab BA, Walbi IA, Albarqi HA, Ali FEM, Hassanein EHM. Roflumilast protects from cisplatin-induced testicular toxicity in male rats and enhances its cytotoxicity in prostate cancer cell line. Role of NF- $\kappa$ B-p65, cAMP/PKA and Nrf2/HO-1, NQO1 signaling[J]. *Food Chem Toxicol.* 2021 May;151:112133. IF:6.023
  23. Aljutaily T. Evaluating the Nutritional and Immune Potentiating Characteristics of Unfermented and Fermented Turmeric Camel Milk in Cyclophosphamide-Induced Immunosuppression in Rats. *Antioxidants (Basel).* 2022;11 (4):. IF:5.952
  24. Jabbari N, Nawaz M, Rezaie J. Ionizing Radiation Increases the Activity of Exosomal Secretory Pathway in MCF-7 Human Breast Cancer Cells: A Possible Way to Communicate Resistance against Radiotherapy[J]. *International Journal of Molecular Sciences*, 2019, 20(15):3649-. IF:5.923
  25. Shanmugarajan D, Girish C, Harivenkatesh N, et al. Antihypertensive and pleiotropic effects of *Phyllanthus emblica* extract as an add-on therapy in patients with essential hypertension—A randomized double-blind placebo-controlled trial[J]. *Phytotherapy Research*, 2021. IF:5.878
  26. Short-Chain Fatty Acid, Sodium Propionate, in Patients on Maintenance Hemodialysis: Beneficial Effects on Inflammatory Parameters and Gut-Derived Uremic Toxins, A Pilot Study (PLAN Study)[J]. *Journal of Clinical Medicine*, 2018. IF:5.688
  27. Peng J, Pan J, Mo J, et al. MPO/HOCl Facilitates Apoptosis and Ferroptosis in the SOD1 G93A Motor Neuron of Amyotrophic Lateral Sclerosis. *Oxid Med Cell Longev.* 2022;2022:8217663. IF:5.604
  28. Treadmill Exercise Alleviates Brain Iron Dyshomeostasis Accelerating Neuronal Amyloid- $\beta$  Production, Neuronal Cell Death, and Cognitive Impairment in Transgenic Mice Model of Alzheimer's Disease[J]. *Molecular neurobiology*, 2021, 58(7):3208-3223. IF:5.59
  29. Aboulhoda, B. E., Rashed, L. A., Ahmed, H., et al. Hydrogen sulfide and mesenchymal stem cells-extracted microvesicles attenuate LPS-induced Alzheimer's disease[J]. *Journal of Cellular Physiology*, 2021, 236(8):5994-6010 IF:5.546
  30. Liu W, Jia H, Guan M, et al. Discovery of novel tubulin inhibitors targeting the colchicine binding site via virtual screening, structural optimization and antitumor evaluation. *Bioorg Chem.* 2022;118:105486. IF:5.508